

ИЗВЕСТИЯ

ТОМСКОГО ОРДЕНА ОКТЯБРЬСКОЙ РЕВОЛЮЦИИ И ОРДЕНА ТРУДОВОГО
КРАСНОГО ЗНАМЕНИ ПОЛИТЕХНИЧЕСКОГО ИНСТИТУТА им. С. М. КИРОВА

Том 302

1976

ИЗУЧЕНИЕ Li—Cd-АМАЛЬГАМ МЕТОДОМ АМАЛЬГАМНОЙ
ПОЛЯРОГРАФИИ С НАКОПЛЕНИЕМ

Н. К. ДЖАБАРОВА, А. А. КАПЛИН, А. Г. СТРОМБЕРГ

(Представлена научно-техническим семинаром кафедры физической
и коллоидной химии)

Методом амальгамной полярографии с накоплением (АПН) изучено несколько интерметаллических соединений (и.м.с.) в ртути [1—6]. В литературе отсутствуют данные по исследованию этим методом сложных амальгам, включающих щелочные и щелочно-земельные элементы.

В настоящей работе с помощью метода АПН изучена система Li—Cd—Hg. Принципиальная возможность образования и.м.с. между литием и кадмием основана на наличии у атома лития незаполненной *s*-оболочки [7]. В качестве индифферентного электролита выбран 0,02 М раствор $(C_2H_5)_4NCl$ в диметилформамиде. На этом фоне регистрируются отдельные пики лития и кадмия при потенциалах —1,9 и —0,3 в соответ-

ственно *). Это позволило провести исследование Li—Cd-амальгам методом АПН двумя способами [8, 9].

Исследования проведены на полярографе *Lp-60* и осциллополярографе ПО-2. В качестве индикаторного электрода использован ртутный пленочный электрод с толщиной пленки 10 мк на серебряной подложке с поверхностью 0,15 см². В работе использован прием переноса электродов [6]. Для работы в неводных средах с донной ртутью в качестве электрода сравнения для проведения концентрирования лития и кадмия при разных потенциалах и в отдельных электролитах нами разработана новая конструкция

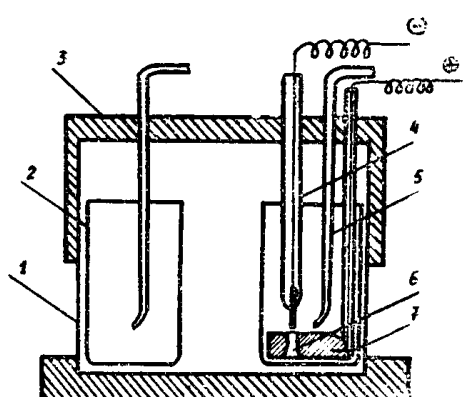


Рис. 1. Электролитическая ячейка с переносом электродов: 1 — стеклянный стакан, 2 — кварцевый стаканчик; 3 — тefлоновая крышка, 4 — ртутный пленочный электрод, 5 — газоподводящая трубка, 6 — отделение с электролитом, 7 — кварцевая ложечка со ртутью

электролитической ячейки (рис. 1). Донная ртуть переносится из одного стаканчика в другой при замкнутой цепи в кварцевой чашечке; рабочий электрод при этом опускается в цилиндрическое отделение с электролитом, расположенное в чашечке. Такой перенос электродов,

*) Все перечисленные значения потенциалов приведены по отношению к донной ртутти.

как показали специальные опыты, исключает окисление амальгам щелочных металлов. В электролизер помещается четыре кварцевых стаканчика (рис. 1) объемом 20 мл с растворами фона (2, 4) и с добавками кадмия (1) и лития (3). В стаканчике проводится электролиз кадмия при потенциале —1,8 в и регистрация анодного тока окисления кадмия. Электролиз повторяется в тех же условиях и после электролитического концентрирования кадмия электроды переносятся в стаканчик 2 для промывки электродов в перемешиваемом растворе. Затем в стаканчике 3 без растворения амальгамы кадмия проводится электролитическое концентрирование лития при потенциале —2,2 в, последующее растворение и регистрация вольт-амперной кривой сложной амальгамы **). Далее проводится концентрирование лития и электрорасщепление его амальгамы в стаканчике 3.

Очистка солей $(C_2H_5)_4Ni$, лития и кадмия проводится по методике, приведенной в работе [10]. Диметилформамид дважды перегоняется в кварцевом аппарате [11]. Для перемешивания растворов используется аргон.

На рис. 2 представлены результаты изучения и.м.с. по первому способу, основанному на получении зависимости высот анодных пиков элементов при постоянной концентрации в амальгаме электроотрицательного элемента и меняющейся концентрации более электроположительного элемента. Стехиометрический коэффициент n образующегося соединения определяется из графика в координатах $\lg I_1 - \lg I_2$ как угловой коэффициент наклона прямой, а произведение растворимости и.м.с. вычисляется по соотношениям [8]:

$$\lg \text{Пр} = \lg N - \lg a_1 - n \lg a_2 \quad (1); \quad N = I_1 \cdot I_2^n, \quad (2)$$

где I_1 и I_2 — высота анодного пика лития и кадмия; a , a_1 и a_2 рассчитываются из экспериментальных данных по соотношению

$$a_i = W \cdot F \cdot V \cdot \frac{Z_i}{\sigma_i}, \quad (3)$$

где v — объем амальгамы, cm^3 ; $\frac{S_2}{W}$ — эффективная ширина анодного полупика, μ ; Z_i — зарядность ионов, участвующих в электродной реакции.

График в координатах $\lg I_1 - \lg I_2$ прямолинеен, что указывает на образование труднорастворимого соединения типа $LiCd_n$. В трех сериях опытов получено $n = 0,62; 0,64; 0,65$; т. е. в среднем около 2/3. Следовательно, состав образующегося и.м.с. можно представить формулой $LiCd$ или Li_3Cd_2 . Согласно формуле (1) произведение растворимости для Li_3Cd_2 получается $1,2 \cdot 10^{-5}; 1,4 \cdot 10^{-5}; 0,9 \cdot 10^{-5}$ ($g\text{-ат}/l$)⁵.

По второму способу, основанному на получении зависимости высот анодных пиков компонентов при совместном присутствии их в амальгаме от времени предварительного электролиза при неизменной концентра-

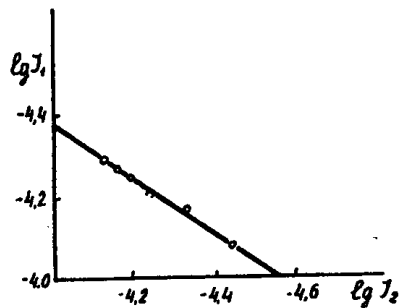


Рис. 2. Зависимость $I-C$:
 $C_{Li} = 8 \cdot 10^{-4} g\text{-ато}/l = \text{const}$;
 $C_{Cd} = 1,6 \cdot 10^{-4} - 1,2 \cdot 10^{-3} g\text{-ион}/l$;
 $V_{Hg} = 1,2 \cdot 10^{-4} cm^3$;
 $W = 400 mV/min$; $\tau = 3$ мин.

**) Во избежание загрязнения раствора лития ионами кадмия целесообразно растворение сложной амальгамы проводить в стаканчике 4.

ции элементов в растворе, равновесные параметры и.м.с. в ртути рассчитываются по формулам [8]:

$$n = \frac{a_1}{a_2} \cdot \frac{K_2}{K_1}; \quad (4)$$

$$\text{Пр} = \frac{K_1}{a_1} \cdot \left(\frac{K_2}{a_2} \right)^n \cdot \tau_*^{n+1}, \quad (5)$$

где K_1 и K_2 — угловые коэффициенты наклона $I-\tau$ -кривых; τ_* — время электролиза, при котором в амальгаме достигается концентрация металлов, соответствующая началу образования и.м.с. Графики в координатах $I-\tau$ амальгам отдельных элементов прямолинейны (рис. 3). При совместном присутствии лития и кадмия в амальгаме наблюдается загиб на прямых при времени электролиза $\tau=6$ мин, что свидетельствует об образовании труднорастворимого соединения между литием и кадмием. Из трех серий опытов по графику $I-\tau$ согласно уравнению (4) получено $n = 0.66; 0.64; 0.69$, т. е. в среднем $2/3$. Согласно формуле (5) произведение растворимости получается $0.2 \cdot 10^{-5}; 0.5 \cdot 10^{-5}; 0.1 \cdot 10^{-5}$ ($\text{г-ат}/\text{л}$)⁵.

Значения n в широком интервале скоростей изменения потенциала ($W=0.007; 0.0016; 0.12$ в/сек) совпадают. Это указывает на то, что равновесие между твердой фазой и. м. с. и жидкой амальгамой практически не нарушается в процессе анодного растворения металлов из амальгамы.

Рис. 3. Зависимость $I-\tau$:
кривые 1, 2 для лития и кадмия в отдельности; кривые 1а, 2а при совместном присутствии: $C_{\text{Li}} = 1 \cdot 10^{-4}$ г·ион/л;
 $C_{\text{Cd}} = 2.5 \cdot 10^{-4}$ г·ион/л

и жидкой амальгамой практически не нарушается в процессе анодного растворения металлов из амальгамы.

Данные, полученные по первому способу, следует считать более достоверными. Поэтому за среднее значение произведения растворимости соединения Li_3Cd_2 можно принять величину $(1.0 \pm 0.5) \cdot 10^{-5}$.

ЛИТЕРАТУРА

1. А. И. Зебрева. Сб. «Электрохимия растворов и металлических систем». Труды ИХН АН Каз. ССР, Алма-Ата, 9, 53 (1962).
2. Н. Ф. Захарчук, А. И. Зебрева. Сб. «Электрохимия амальгамных систем», Труды ИХН АН Каз. ССР, Алма-Ата, 32, 31 (1971).
3. А. Г. Стромберг, Э. А. Захарова. «Завод. лабор.», 30, 261 (1964).
4. W. Kettila, Z. Kublik, Z. Galus. «Электрохимия», 4, 1177 (1968).
5. С. А. Левицкая, А. И. Зебрева. «Электрохимия», 2, 92 (1966).
6. Н. Ф. Захарчук, А. И. Зебрева, М. Т. Козловский. Сб. «Электрохимия амальгамных систем». Труды ИХН АН Каз. ССР, 32, 28 (1971).
7. М. С. Захаров, Л. Ф. Заичко, Н. А. Месяц, А. Г. Балецкая. Известия вузов, «Химия и хим. технология», 9, 355 (1966).
8. М. С. Захаров, А. Г. Стромберг, Н. А. Месяц. Известия ТПИ, 164, 165, 171 (1967).
9. А. Г. Стромберг, М. С. Захаров, Н. А. Месяц. «Электрохимия», 3, 1440 (1967).
10. Е. Я. Горенбейн, В. М. Шевченко. Журнал неорг. химии, 16, 629, (1971).
11. Лабораторная техника органической химии под ред. Кейла, М., «Мир», 1966, 590.